

Bollettino di Sorveglianza Vulcani Campani

Aprile 2014

1 – VESUVIO

Al Vesuvio permane una lieve sismicità di fondo, ed un'assenza di deformazioni significative tranne per un lieve, persistente abbassamento nell'area craterica. Non si evidenziano anomalie nei parametri geochimici rilevati nelle fumarole in area craterica.

1.1 - Sismicità

Nel corso dell'ultimo mese al Vesuvio sono stati registrati 34 terremoti (Fig. 1.1.1). E' stato possibile determinare l'ipocentro di 3 eventi. La magnitudo massima registrata è stata pari a 2.0. Non si evidenziano trend significativi nei parametri sismologici (Fig. 1.1.2, 1.1.3, 1.1.4, 1.1.5).

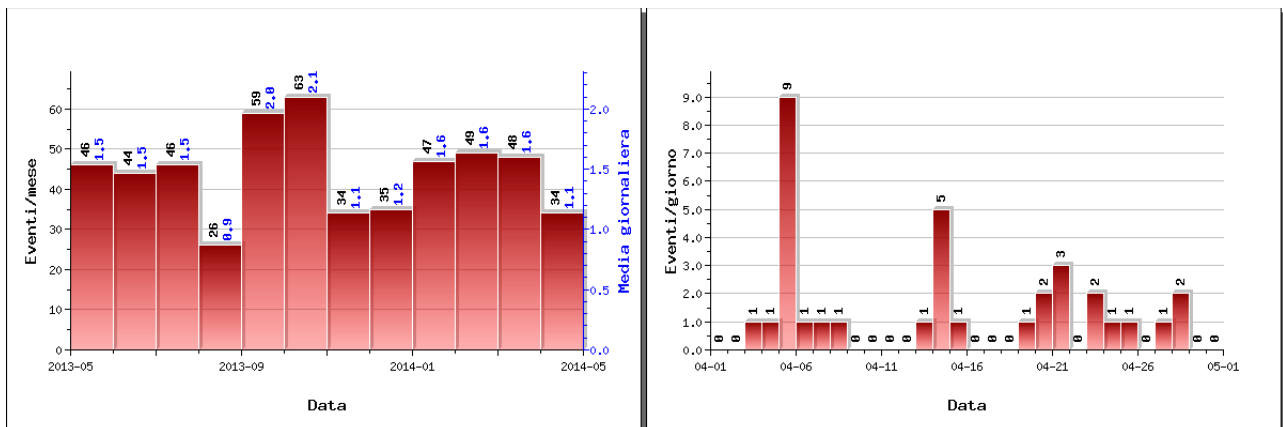


Figura 1.1.1 – A sinistra il numero di eventi registrati al Vesuvio nel corso degli ultimi 12 mesi (in totale 531), mentre a destra quelli avvenuti nell'ultimo mese (in totale 34).

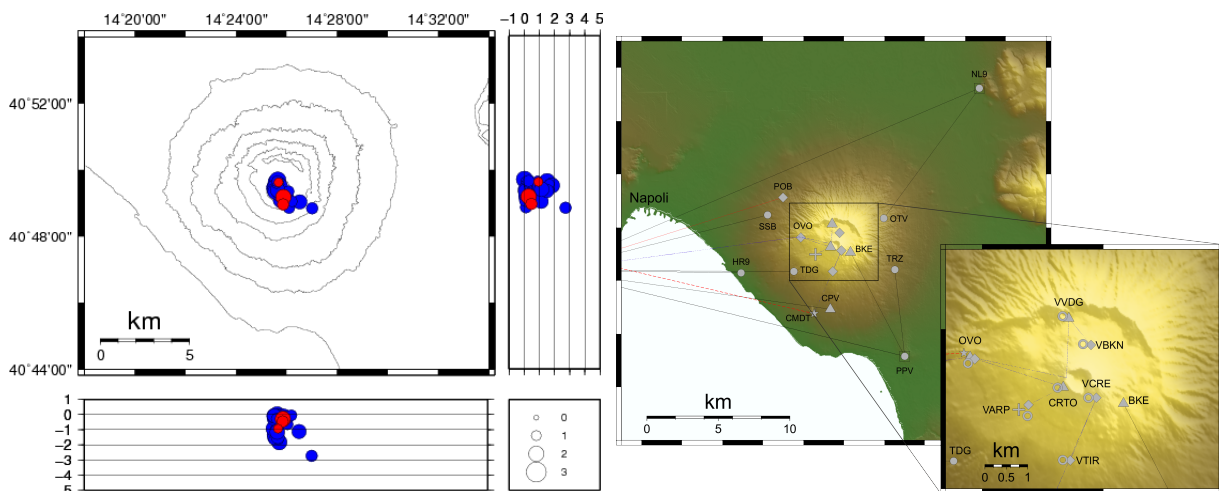


Figura 1.1.2 – Localizzazioni ipocentrali al Vesuvio nel corso degli ultimi 12 mesi (in blu) e dell'ultimo mese (in rosso). La dimensione dei simboli è proporzionale alla magnitudo, come indicato nel riquadro in basso. A destra è mostrata la mappa con la rete sismica del Vesuvio.

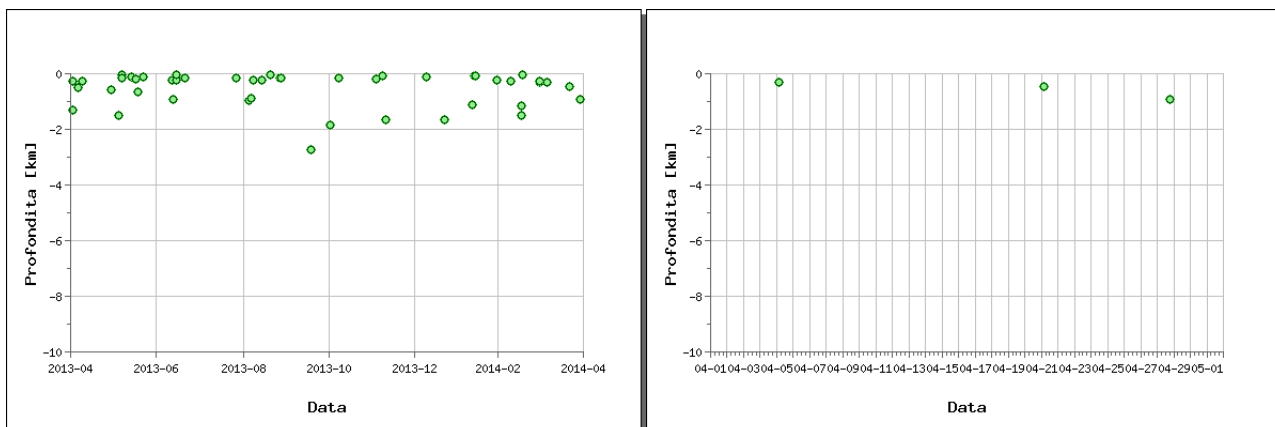


Figura 1.1.3 – Profondità ipocentrali degli eventi registrati al Vesuvio nel corso degli ultimi 12 mesi (a sinistra) e dell'ultimo mese (a destra).

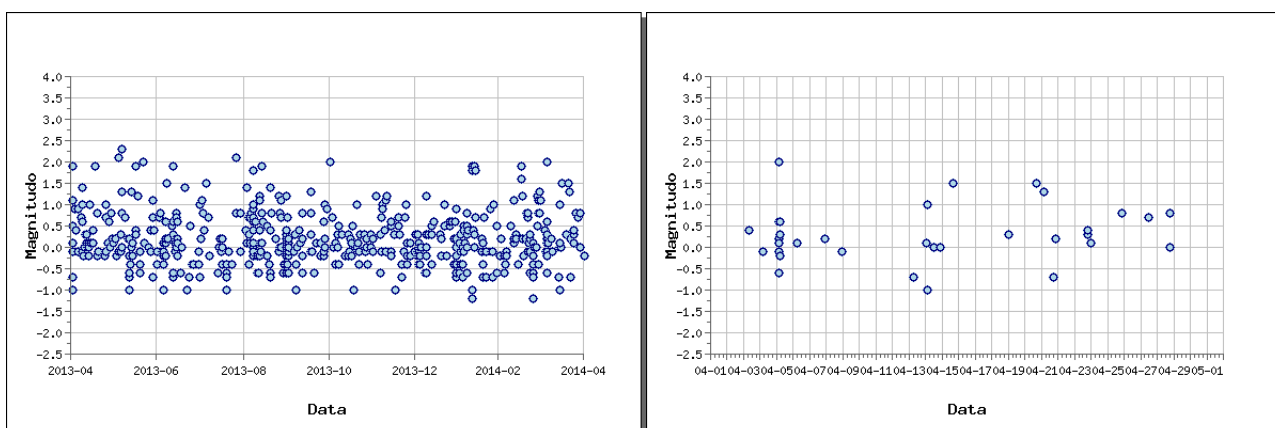


Figura 1.1.4 – Magnitudo degli eventi registrati al Vesuvio nel corso degli ultimi 12 mesi (a sinistra) e dell'ultimo mese (a destra).

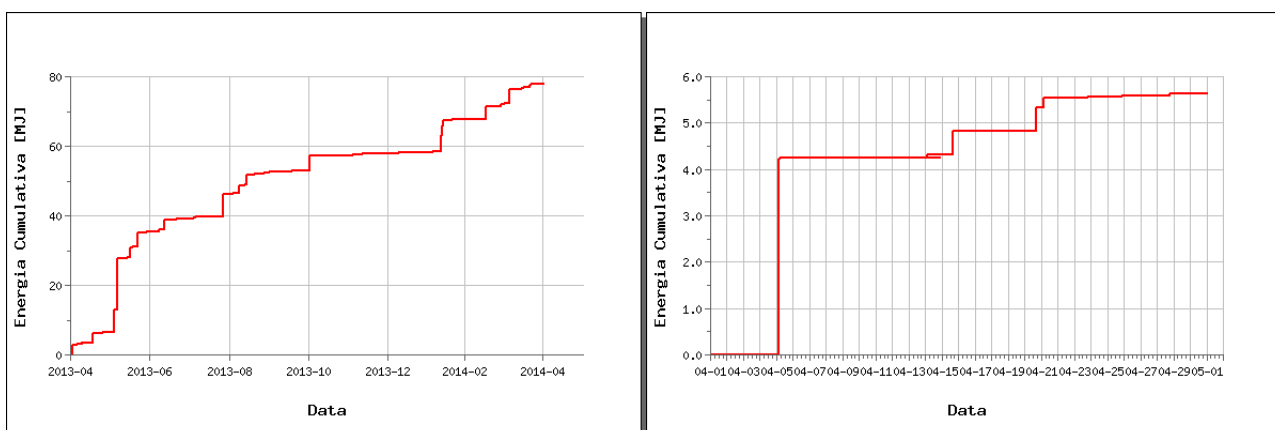


Figura 1.1.5 – Rilascio cumulativo di energia sismica al Vesuvio nel corso degli ultimi 12 mesi (a sinistra) e dell'ultimo mese (a destra).

Di seguito si riportano i parametri ipocentrali degli eventi con $M \geq 2.0$:

Data	Mag.	Latitudine N	Longitudine E	Profondità (km)
2014/04/05 03:23:59.57	2.0	40° 49' 10.92"	14° 25' 52.68"	0.29

1.2 - Deformazioni del Suolo

Non si evidenziano deformazioni del suolo imputabili a fenomeni vulcanici. Le sole stazioni GPS ubicate nella parte alta dell'edificio vulcanico mostrano una moderata subsidenza (es. BKE1 in figura 1.2.1 e 1.2.2), verosimilmente dovuta a processi di compattazione e/o scivolamento di terreni poco coerenti ed in forte pendenza.

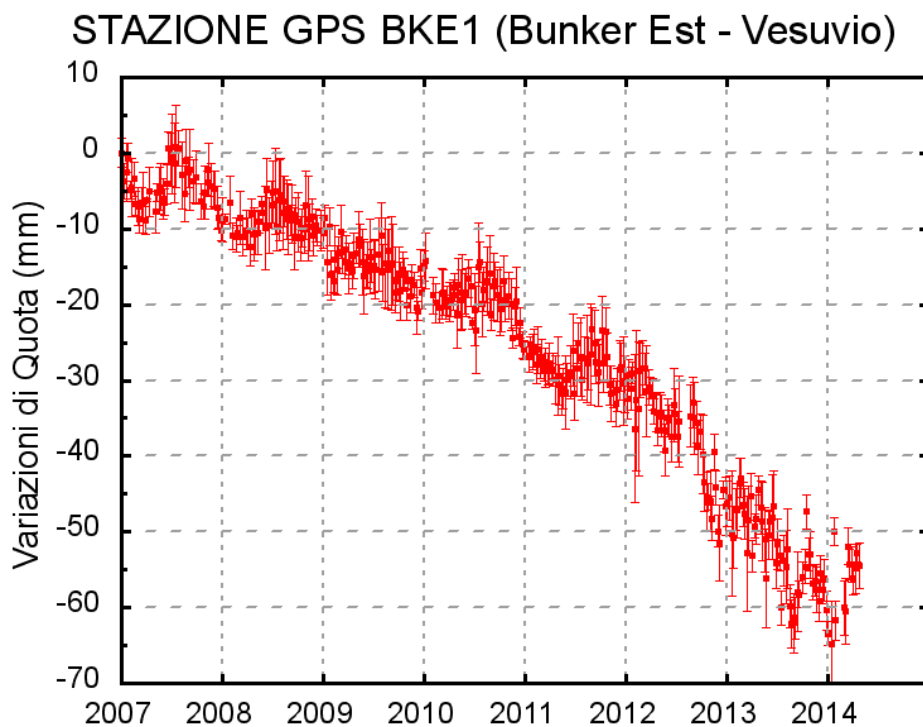


Fig. 1.2.1: Serie temporale delle variazioni settimanali in quota della stazione di BKE1 (Vesuvio) dal 2007 al 30 aprile 2014

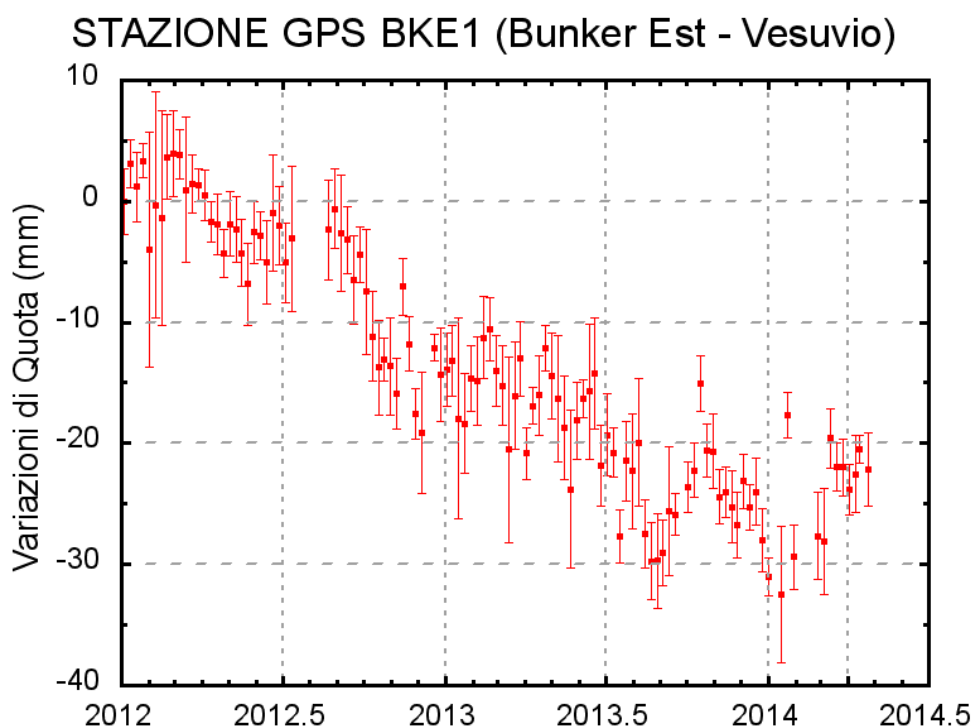


Fig. 1.2.2: Serie temporale delle variazioni settimanali in quota della stazione di BKE1 (Vesuvio) dal 01 gennaio 2012 al 30 aprile 2014

1.3 – Geochimica

COMPOSIZIONE CHIMICA DELLE FUMAROLE DEL VESUVIO

Nel mese di Aprile sono stati eseguiti n. **2** campionamenti della fumarola FC2 sita sul fondo del cratere.

Una dettagliata descrizione del modello geochimico interpretativo delle fumarole del Vesuvio è riportata nel lavoro scientifico Chiodini et al., (2001) e nei precedenti rapporti di sorveglianza in cui sono state segnalate variazioni della composizione delle fumarole interne al cratere. In particolare a partire dal terremoto del 9 ottobre 1999 ($M_d=3.6$) sono stati misurati per 2 anni aumenti nel tempo sia del rapporto He/CO_2 che della pCO_2 stimata sulla base di geindicatori gassosi. Contemporaneamente si è verificata la diminuzione del rapporto H_2/CO_2 e l'incremento del rapporto CH_4/CO_2 (Fig. 1, vedi rapporto finale 2001 e 2002). Tali variazioni sono state interpretate come un incremento dell'input di fluidi magmatici più ossidanti, poveri in CH_4 e ricchi in He nel sistema idrotermale. A partire dall'autunno 2002, le composizioni chimiche delle fumarole hanno mostrato un graduale ritorno dei valori verso le condizioni pre-1999. Una dettagliata descrizione delle variazioni e delle possibili interpretazioni sono riportate nel lavoro scientifico Caliro et al., (2011).

Le analisi relative ai campioni prelevati nel mese di Aprile non mostrano variazioni significative dei valori misurati rispetto ai periodi precedenti. In particolare i valori di equilibrio stimati per la temperatura e la pressione di CO_2 mostrano una lieve diminuzione rispetto ai valori pregressi, rientrando in un trend pluriennale di diminuzione dell'attività idrotermale all'interno del cratere (Fig. 1.3.2).

CONCLUSIONI

La composizione delle fumarole, relative al mese di Aprile 2014, non ha mostrato variazioni significative rispetto ai periodi precedenti. In particolare, tali variazioni rientrano in un trend pluriennale di diminuzione dell'attività idrotermale nell'area craterica del Vesuvio.

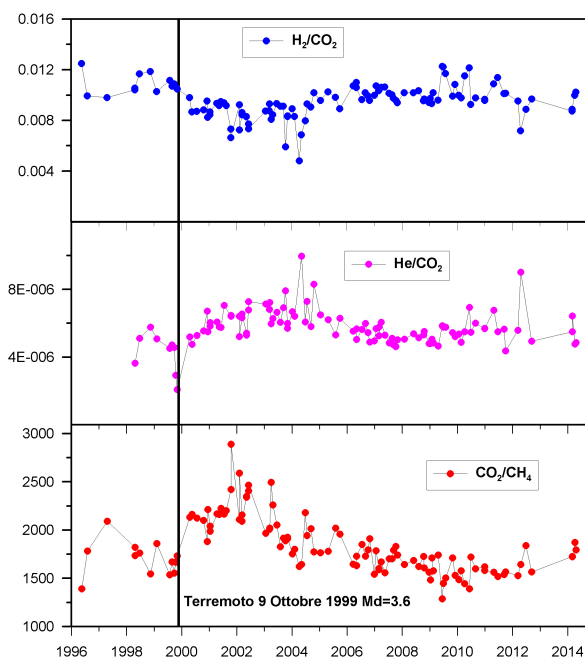


Fig 1.3.1 Variazioni composizionali della fumarola FC2 nel periodo 1996-2014

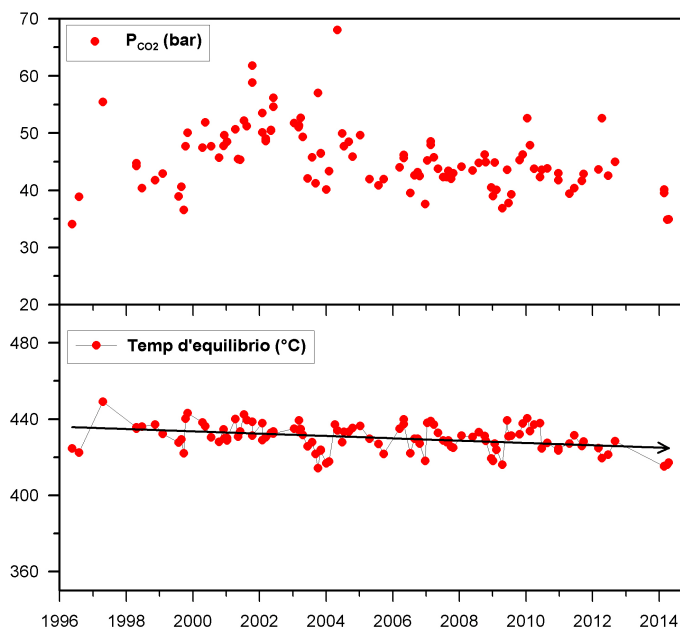


Fig. 1.3.2 Cronogramma dei valori d'equilibrio della Temperatura e pressione parziale di CO₂ stimati per il sistema idrotermale del Vesuvio.

Bibliografia

Chiodini G., Marini L., and Russo M. (2001) Geochemical evidence for the existence of high-temperature hydrothermal brines at Vesuvio volcano, Italy. *Geochim. Cosmochim. Acta* **65**, 2129-2147.

Caliro S., Chiodini G., Avino R., Minopoli C., and Bocchino B. (2011) Long time-series of chemical and isotopic compositions of Vesuvius fumaroles: evidence for deep and shallow processes. *Annals Geophysics* **54**, 137-149. doi: 10.4401/ag-5034.

2 - CAMPI FLEGREI

Nel corso del mese sono stati registrati 5 eventi sismici di piccola magnitudo. Non sono state registrate significative deformazioni del suolo, assenza di deformazioni che permangono dal Maggio 2013.

Lo stato dell'area flegrea permane ad un livello di attenzione.

2.1 - Sismicità

Ai Campi Flegrei, nel corso dell'ultimo mese, sono stati registrati 5 terremoti, con magnitudo massima 0.1. E' stato possibile determinare gli ipocentri di due degli eventi, che risultano localizzati nei dintorni della Solfatarata (Fig.2.1.2).

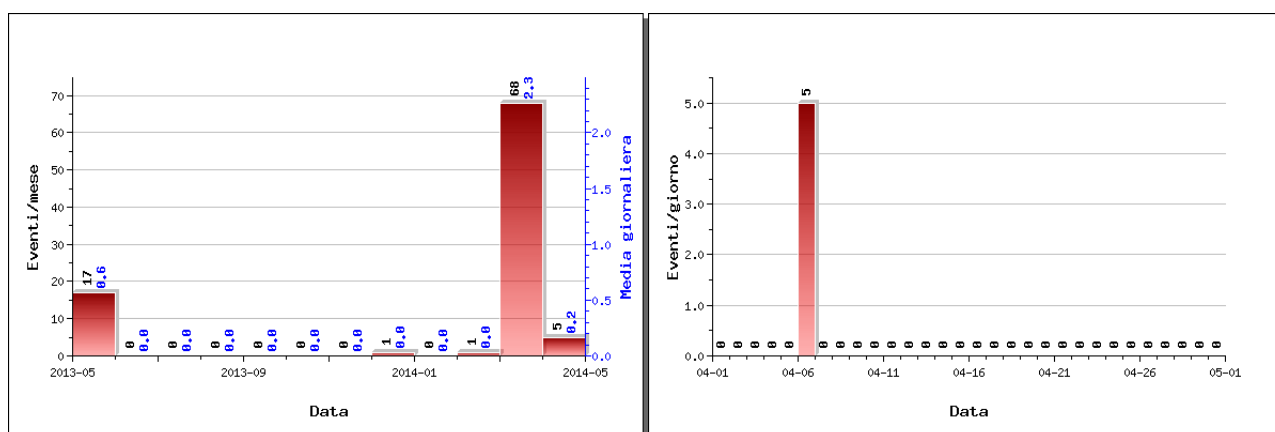


Figura 2.1.1 – A sinistra il numero di eventi registrati ai Campi Flegrei nel corso degli ultimi 12 mesi (in totale 92), mentre a destra quelli avvenuti nell'ultimo mese (in totale 5).

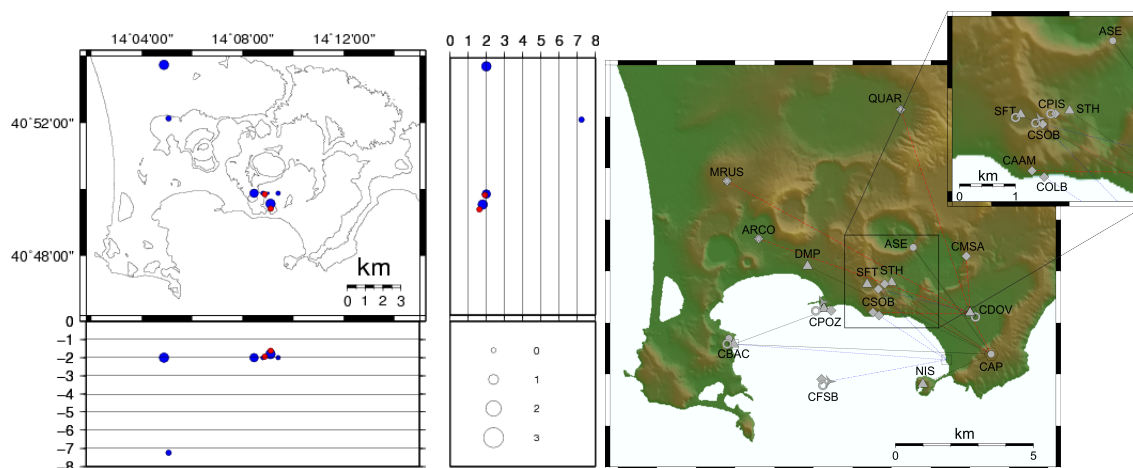


Figura 2.1.2 – Localizzazioni ipocentrali ai Campi Flegrei nel corso degli ultimi 12 mesi (in blu) e dell'ultimo mese (in rosso). La dimensione dei simboli è proporzionale alla magnitudo,

come indicato nel riquadro in basso. A destra è mostrata la mappa con la rete sismica dei Campi Flegrei.

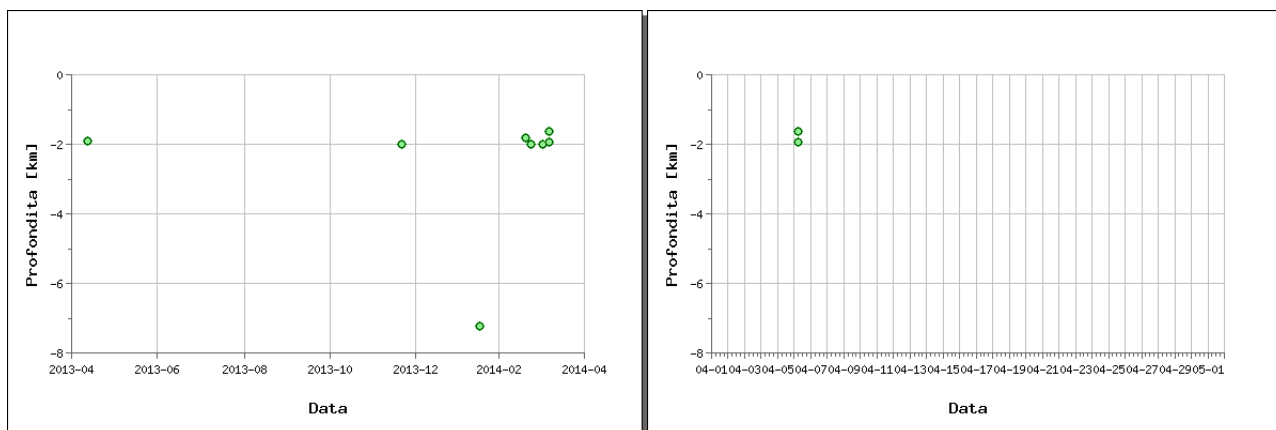


Figura 2.1.3 – Profondità ipocentrali degli eventi registrati ai Campi Flegrei nel corso degli ultimi 12 mesi (a sinistra) e dell’ultimo mese (a destra).

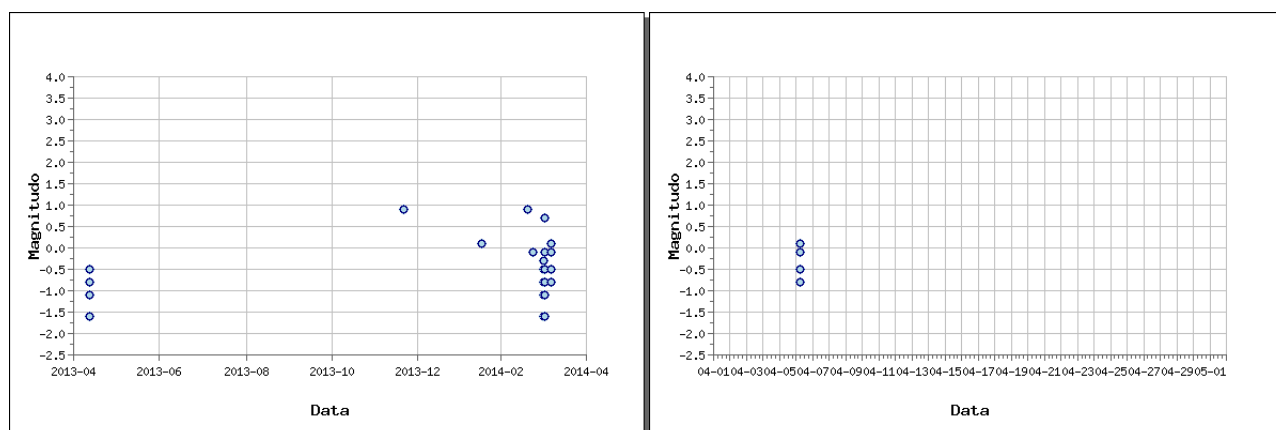


Figura 2.1.4 – Magnitudo degli eventi registrati ai Campi Flegrei nel corso degli ultimi 12 mesi (a sinistra) e dell’ultimo mese (a destra).

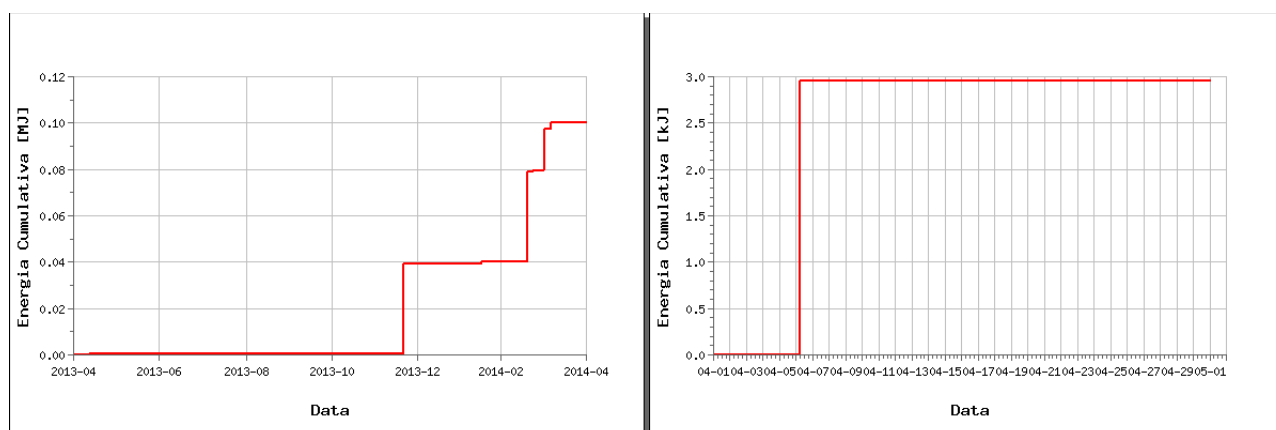


Figura 2.1.5 – Rilascio cumulativo di energia sismica ai Campi Flegrei nel corso degli ultimi 12 mesi (a sinistra) e dell’ultimo mese (a destra).

2.2 - Deformazioni del Suolo

Dagli inizi di maggio 2013 non si evidenziano significative deformazioni del suolo ai Campi Flegrei (Fig. 2.2.2)

Alla stazione GPS di RITE, localizzata a Pozzuoli nell'area di massima deformazione verticale, il sollevamento complessivo dal 2005 ad aprile 2013 è stato di circa 23 cm (Fig. 2.2.1), di cui circa 12 cm dal 2012 (Fig. 2.2.2).

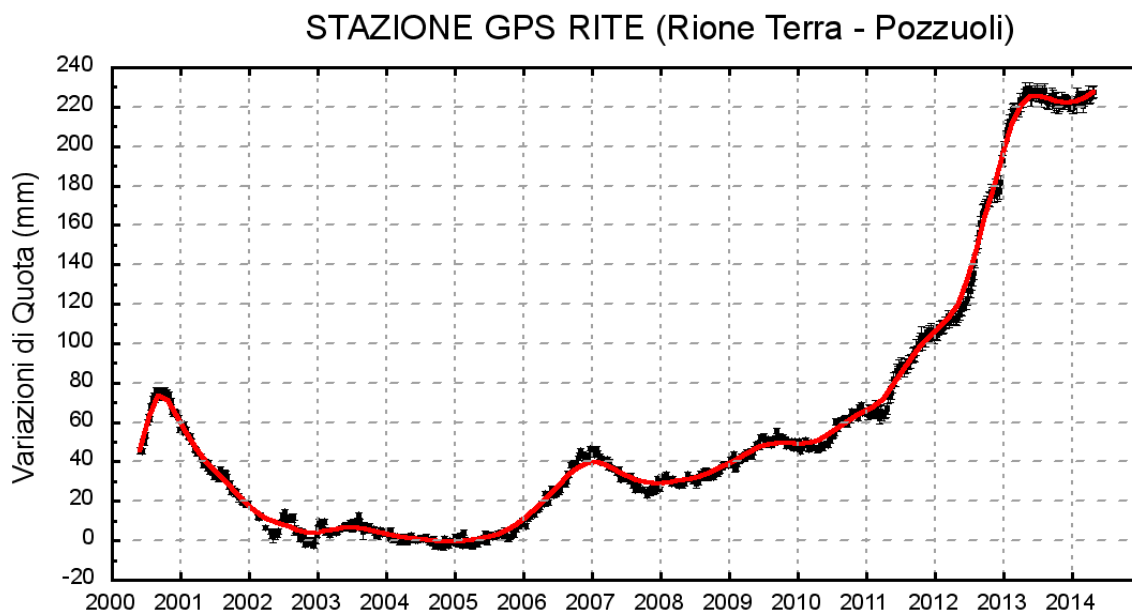


Fig. 2.2.1: Serie temporale delle variazioni settimanali in quota della stazione di RITE (Pozzuoli) dal 2000 al 30 aprile 2014

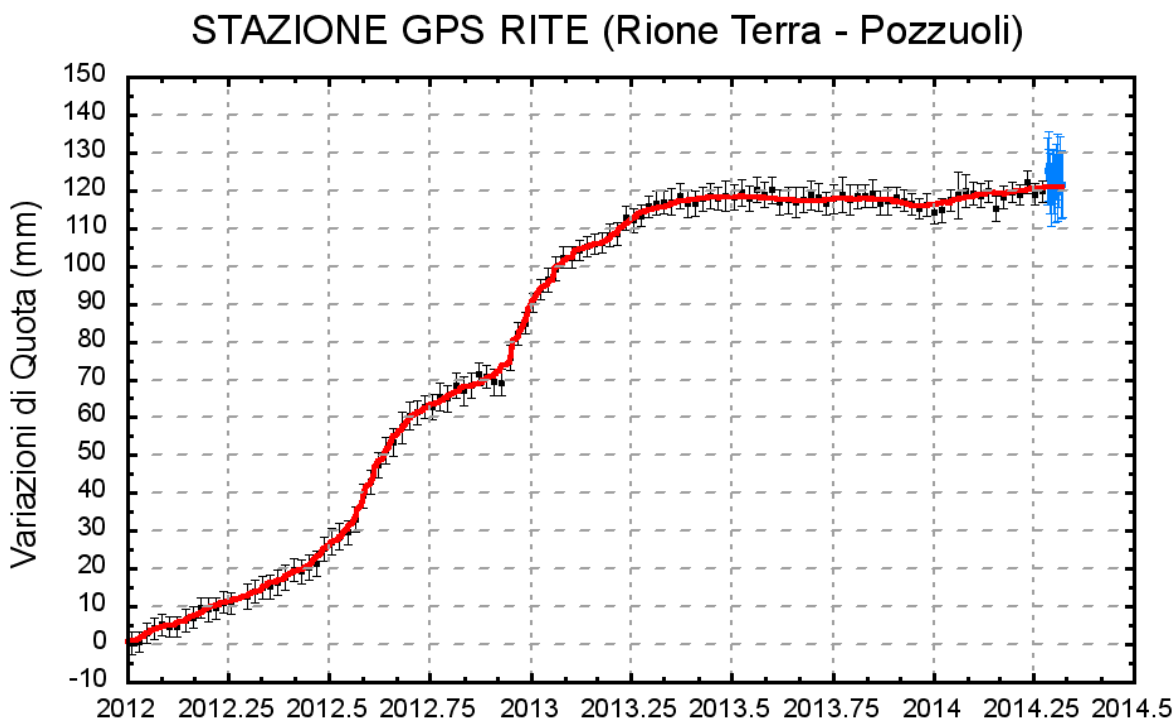


Fig. 2.2.2: Serie temporale delle variazioni in quota della stazione di RITE (Pozzuoli) dal 01 gennaio 2012 al 28 aprile 2014 (vedi bollettino settimanale)

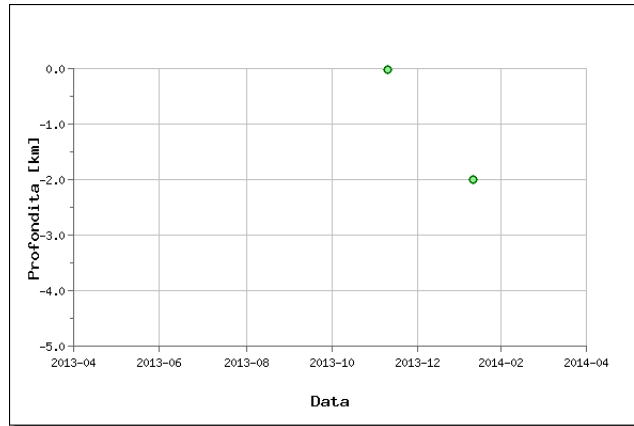


Figura 3.1.3 – Profondità ipocentrali degli eventi registrati ad Ischia nel corso degli ultimi 12 mesi.

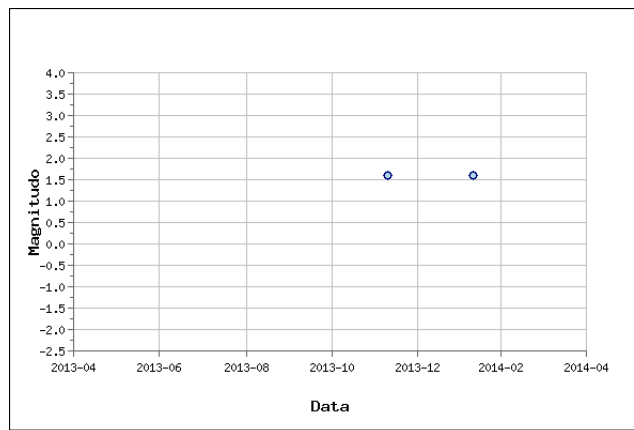


Figura 3.1.4 – Magnitudo degli eventi registrati ad Ischia nel corso degli ultimi 12 mesi.

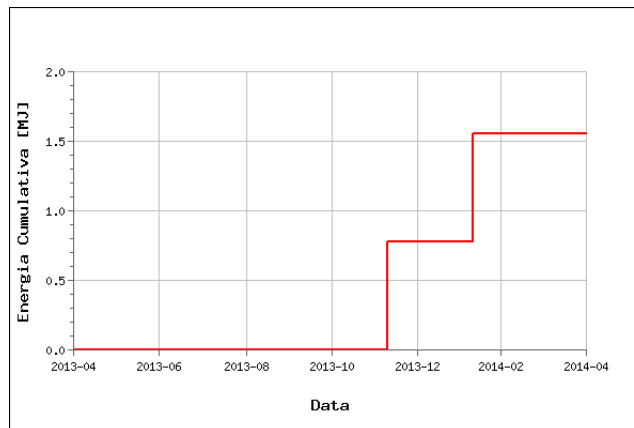


Figura 3.1.5 – Rilascio cumulativo di energia sismica ad Ischia nel corso degli ultimi 12 mesi.

3.2 - Deformazioni del Suolo

L'analisi delle serie temporali GPS conferma la generale subsidenza dell'isola con valori più elevati nel settore meridionale dell'isola (fig 3.2.1 e 3.2.2).

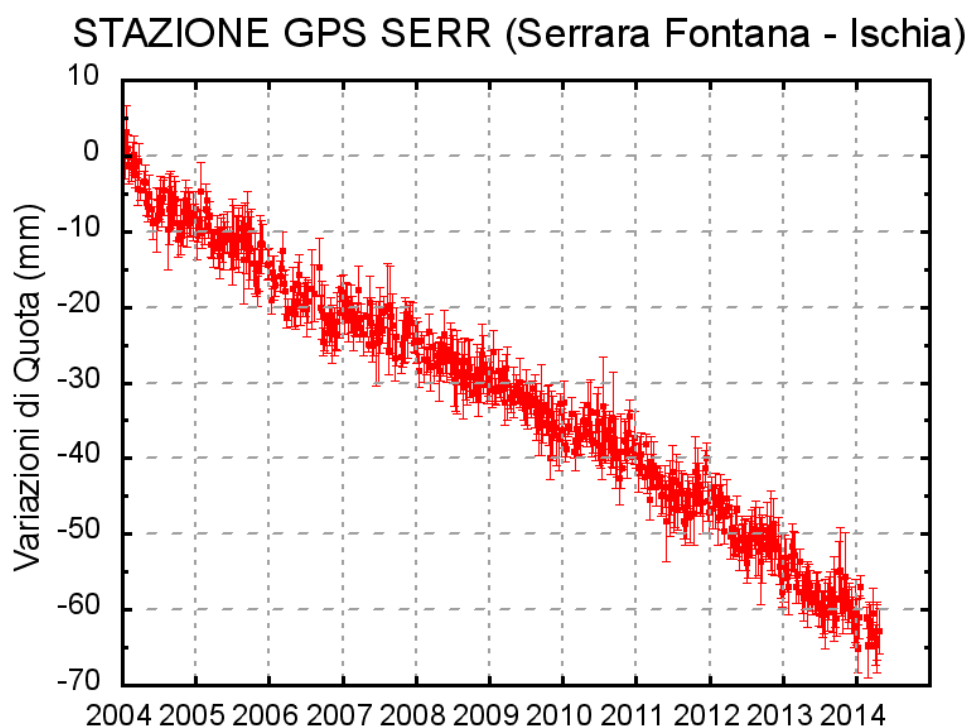


Fig. 3.2.1: Serie temporale delle variazioni settimanali in quota della stazione di SERR (Ischia) dal 2004 al 30 aprile 2014

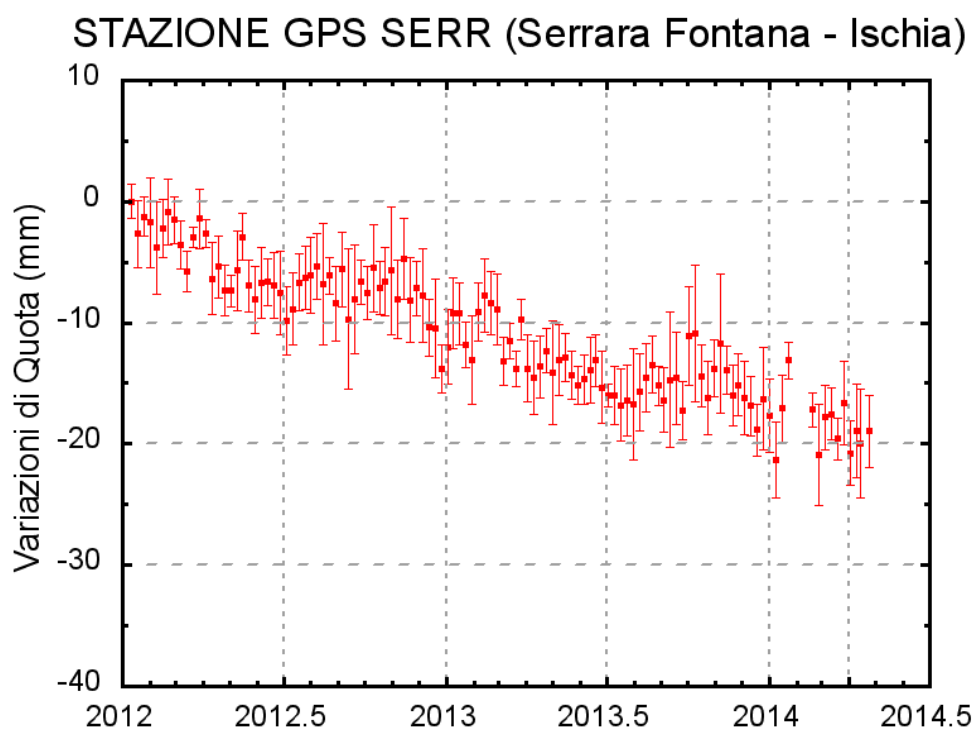


Fig. 3.2.2: Serie temporale delle variazioni settimanali in quota della stazione di SERR (Ischia) dal 01 gennaio 2012 al 30 aprile 2014.

Responsabilità e proprietà dei dati

L'INGV, in ottemperanza a quanto disposto dall'Art.2 del D.L. 381/1999, svolge funzioni di sorveglianza sismica e vulcanica del territorio nazionale, provvedendo alla organizzazione della rete sismica nazionale integrata e al coordinamento delle reti sismiche regionali e locali in regime di convenzione con il Dipartimento della Protezione Civile.

L'INGV concorre, nei limiti delle proprie competenze inerenti la valutazione della Pericolosità sismica e vulcanica nel territorio nazionale e secondo le modalità concordate dall'Accordo di programma decennale stipulato tra lo stesso INGV e il DPC in data 2 febbraio 2012 (Prot. INGV 2052 del 27/2/2012), alle attività previste nell'ambito del Sistema Nazionale di Protezione Civile. In particolare, questo documento, redatto in conformità all'Allegato A del suddetto Accordo Quadro, ha la finalità di informare il Dipartimento della Protezione Civile circa le osservazioni e i dati acquisiti dalle reti di monitoraggio gestite dall'INGV su fenomeni naturali di interesse per lo stesso Dipartimento.

L'INGV fornisce informazioni scientifiche utilizzando le migliori conoscenze scientifiche disponibili; tuttavia, in conseguenza della complessità dei fenomeni naturali in oggetto, nulla può essere imputato all'INGV circa l'eventuale incompletezza ed incertezza dei dati riportati e circa accadimenti futuri che differiscano da eventuali affermazioni a carattere previsionale presenti in questo documento. Tali affermazioni, infatti, sono per loro natura affette da intrinseca incertezza.

L'INGV non è responsabile dell'utilizzo, anche parziale, dei contenuti di questo documento da parte di terzi, e/o delle decisioni assunte dal Dipartimento della Protezione Civile, dagli organi di consulenza dello stesso Dipartimento, da altri Centri di Competenza, dai membri del Sistema Nazionale di Protezione Civile o da altre autorità preposte alla tutela del territorio e della popolazione, sulla base delle informazioni contenute in questo documento. L'INGV non è altresì responsabile di eventuali danni recati a terzi derivanti dalle stesse decisioni.

La proprietà dei dati contenuti in questo documento è dell'INGV. La diffusione anche parziale dei contenuti è consentita solo per fini di protezione civile ed in conformità a quanto specificatamente previsto dall'Accordo Quadro sopra citato tra INGV e Dipartimento della Protezione Civile.